

上海市工业生产比先进比多快好省展览会

重工业技术交流参考资料

胜利滚刀和进步滚刀

上海矿山机器厂编

科学技術出版社

在祖国建設全面大躍進的形勢下，中共上海市委和市人民委員會為了更好地鼓舞全市職工開展比先進比多快好省運動的積極性，交流想法、革新技術的經驗，促進當前生產高潮及有力地貫徹鼓足干勁、力爭上游、多快好省地建設社會主義總路線，在1958年4月至6月間舉辦了比先進比多快好省展覽會。

在這一個展覽會上充分反映了生產高潮的主要情況以及技術革新的先進經驗，真可以說是富多采，美不勝收。我們為了緊密配合生產，具體為生產服務起見，在現場收集了很多資料以活頁或翻裝本形式出版了大宗技術交流參考資料。茲為便利外地同志們參考起見，特再分門別類輯為匯編出版。

這些資料大體上歸納為1. 重工業；2. 車工業；3. 化學工業；4. 紡織工業；5. 建築工業；6. 交通運輸業等幾個大門類。

上海市工業生產比先進比多快好省展覽會
重工業技術交流參考資料

勝利滾刀和步進滾刀

編者 上海矿山机器厂

科學技術出版社出版

(上海南京西路 2004 号)

上海市書刊出版業總公司印製

上海市印刷四廠印刷 新華書店上海發行所總經售

書名 787×1092 · 版 1/32 · 印張 1 1/16 · 字數 23,000

1958年7月第1版

1958年7月第1次印刷 · 印數 1—10,500

統一書號：15119·735

定 价：(6) 0.10 元

胜利滚刀和进步滚刀

目 录

— 上海矿山机器厂编 —

胜利滚刀

1. 大走刀精加工的可能性	1
2. 小压力角滚刀的理論基础	4
3. 滚刀的主要計算公式	5
4. 优缺点	8
5. 本厂试验过程	10
6. 結語	13

进步滚刀

1. 进步滚刀的理論基础	14
2. 进步滚刀的計算	17
3. 进步滚刀的磨制与使用	26
4. 小結	29

勝 利 滾 刀

我厂以前曾試驗和推广过大走刀粗加工“进步滾刀”，效果良好。但其主要缺点是因走刀量大而引起的表面不平度很显著，精加工走刀量无法提高。后来学习了苏联先进經驗，根据齒輪加工原理，設計了大走刀精加工“小压力角胜利滾刀”，現已試驗成功，并正式应用于生产，提高效率一倍以上。

(一) 大走刀精加工的可能性

由于走刀量的关系，沿齒長方向的表面上会产生走刀痕迹(毛刺)。走刀量愈大，走刀痕迹愈显著(毛刺高度越大)，对表面不平度的影响愈大，降低了齒輪的表面質量。

由图1可以看出，表面不平度 h 和滾刀半徑 r 及走刀量 S 間有如下关系：

$$h = r - \sqrt{r^2 - \frac{S^2}{4}}$$

式中 h ——齒底不平度； r ——滾刀半徑； S ——齒輪一轉刀具的走刀量。

如在滾刀節圓直徑處其不平度為：

$$h_0 = r_0 - \sqrt{r_0^2 - \frac{S^2}{4}} \quad (1)$$

式中 h_0 ——齒分度圓處不平度； r_0 ——滾刀節圓半徑。

而在齒分度圓處垂直于齒面的不平度為：

$$h H_0 = h_0 \sin \alpha, \quad (2)$$

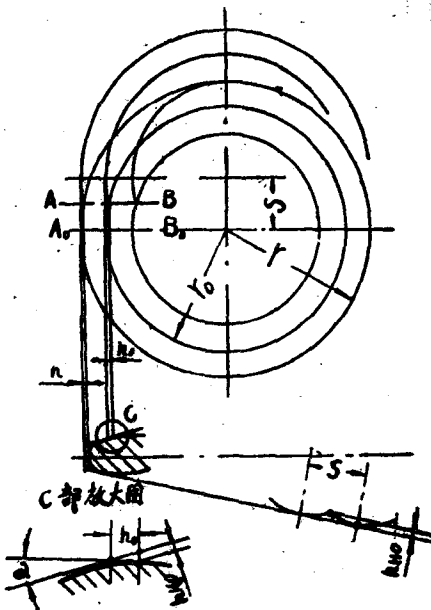


圖 1

α ——滾刀法向的齒形角。

$$\text{从(1)得: } r_0 - h_0 = \sqrt{r_0^2 - \frac{S^2}{4}},$$

$$r_0^2 - 2r_0h_0 + h_0^2 = r_0^2 - \frac{S^2}{4};$$

$$S = 2\sqrt{h_0(2r_0 - h_0)} \approx 2\sqrt{2r_0h_0} = \sqrt{\frac{8hH_0r_0}{\sin \alpha}}$$

$$(\because 2r_0 - h_0 \approx 2r_0), \quad (3)$$

$$\text{或 } \sin \alpha = \frac{8hH_0r_0}{S^2}. \quad (4)$$

由公式(4)可以看出，在給定的走刀量 S 及滾刀節圓半徑 r_0 ，減小齒形角 α ，直接減少了 hH_0 ，即提高了光洁度。

由公式(3)可以看出，在給定的 r_0, hH_0 下減小了齒

形角 α , 就可以提高走刀量 S 。这样就能达到大走刀精加工的要求。

在一定直徑的滾刀 ($d=100$), 采取不同的走刀量, α 与 hH_0 的关系如表 1 (hH_0 的单位为公忽)。

表 1

α	S (公厘/轉)							
	1	1.5	2	2.5	4	5	6	8
0°	0	0	0	0	0	0	0	0
5°	0.218	0.490	0.872	1.362	3.486	5.447	7.844	13.944
8°	0.348	0.783	1.392	2.175	5.567	8.698	12.525	22.267
10°	0.434	0.977	1.737	2.713	6.946	10.853	15.628	27.784
15°	0.647	1.456	2.588	4.044	10.353	16.176	23.294	41.411
20°	0.855	1.924	3.420	5.344	13.681	21.376	30.782	54.723
25°	1.056	2.377	4.226	6.603	16.905	26.414	38.036	67.619
30°	1.250	2.813	5.000	7.813	20.000	31.250	45.000	80.000
35°	1.434	3.226	5.736	8.962	22.943	35.849	51.622	91.773

在一定直徑的滾刀 ($d=100$) 采取不同的 hH_0 , α 与 S 的关系如表 2 (S 的单位为公厘/轉)。

表 2

α	hH_0 (公忽)							
	2	4	6	8	10	12	16	20
0°	∞	∞	∞	∞	∞	∞	∞	∞
5°	3.03	4.29	5.25	6.06	6.77	7.42	8.57	9.58
8°	2.40	3.39	4.15	4.80	5.36	5.87	6.78	7.58
10°	2.15	3.04	3.72	4.29	4.80	5.26	6.07	6.79
15°	1.76	2.49	3.05	3.52	3.93	4.31	4.97	5.56
20°	1.53	2.16	2.65	3.06	3.42	3.75	4.33	4.84
25°	1.38	1.95	2.38	2.75	3.08	3.37	3.89	4.35
30°	1.27	1.79	2.19	2.53	2.83	3.10	3.58	4.00
35°	1.18	1.67	2.04	2.36	2.64	2.89	3.34	3.73

(二) 小压力角滚刀的理論基础

我們知道，漸開線的形状，只决定于基圆半径 R_0 的大小，在一般公制压力角 20° 齿輪，一定的齿数，就有一定的 R_0 ，也就是漸開線的形状一定了。

所謂漸開線的压力角，就是它的余弦是基圆半径与該点处半径之比，公式为：

$$\cos \alpha_b = \frac{R_0}{R_x}$$

也就是说齒輪上半徑不同，每點的压力角是不等的，在基圓處（即 $R_x = R_0$ ）压力角等于 0° ，而在齒頂圓的压力角最大。

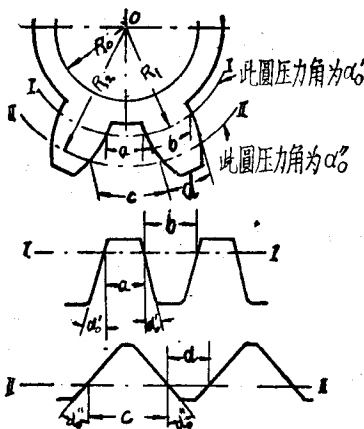


圖 2

如图 2a， R_1 处的压力角 α'_0 为： $\cos \alpha'_0 = \frac{R_0}{R_1}$

R_2 处的压力角 α''_0 为： $\cos \alpha''_0 = \frac{R_0}{R_2}$

通常我們所說的压力角，是齒輪分圓處的压力角（即当 $R_x = \frac{m \cdot Z}{2}$ 时的压力角）。

在一般公制压力角 20° 齿轮，一定的模数，基圆齿距是不变的，即， $t_0 = \pi m \cdot \cos 20^\circ$ 。两齿轮正确啮合的条件是基圆齿距必须相等。齿轮上任意半径 R_h 上的齿距 $t_h = \frac{t_0}{\cos \alpha_h}$ (α_h 为该点的压力角)。

齿条与齿轮啮合时，同样适用上述原理，即基圆齿距相等，因此对于一定的齿轮，可能有很多齿条与它啮合，只要它们的齿距 t_h 和齿形 α_h 各各相等即可。

如图 2b、c，虽然两种齿形角不一样，都能和图 2a 正确啮合。即：

$$(a+b)\cos \alpha'_0 = (c+d)\cos \alpha''_0 = t_0.$$

所不同者只是改变了啮合的节线和节圆。

根据以上原理，我们可以把滚刀齿形角改变，而仍滚出所需要压力角的齿轮。

(三) 滚刀的主要计算公式

(1) 决定 S 或 α_h

如 hH_0 及 S 已定，可用公式(4) $\sin \alpha_h = \frac{8hH_0r_0}{S^2}$ 通常可取 $\alpha_h = 10^\circ$ ，则可反过来求 S 用公式(3)。

$$S = \sqrt{\frac{8hH_0r_0}{\sin \alpha_h}}$$

(r_0 为滚刀节圆半径，根据构造形式选取，可尽量大些)

(2) 求齿轮接触圆半径 R_{HK} (图 3)。

$$R_{HK} = \frac{R_0}{\cos \alpha_k} = \frac{MZ \cos \alpha}{2 \cos \alpha_k} (\alpha = 20^\circ). \quad (5)$$

(3) 求滚刀法向齿距 t_h (图 3)。

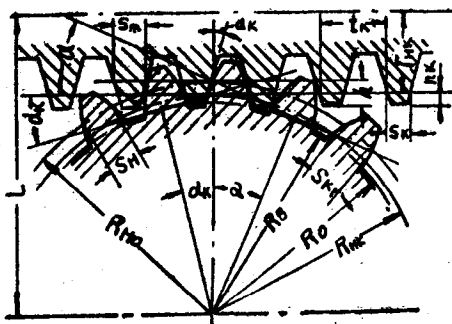


圖 3

应和齒輪接觸圓周節相等故得。

$$t_h = \frac{2\pi R_{HK}}{Z} = \frac{\pi m \cdot \cos \alpha}{\cos \alpha_k} \quad (6)$$

(4) 求齒輪接觸圓處齒厚(圖3)。

$$S_{K1} = 2R_{HK} \left(\frac{S_H}{2R_{E0}} + \ln V\alpha - \ln V\alpha_k \right) \quad (7)$$

($\ln V\alpha$ 及 $\ln V\alpha_k$ 为 α 及 α_k 的漸開線函數，可由漸開線函數表中查出)。

S_H 按圖紙規定选取， $R_{H0} = \frac{M Z}{2}$ ，

如 S_H 按標準选取 $S_H = \frac{\pi M}{2}$ 則

$$SK_1 = 2R_{HK} \left(\frac{\pi}{2Z} + \ln V\alpha - \ln V\alpha_k \right) \quad (8)$$

(5) 求齒輪接觸圓處齒槽寬 SK (也是滾刀在與齒輪接觸圓相當處的法向齒厚)(圖3)。

$$SK = t_h - SK_1 \quad (9)$$

(6) 求滾刀自接觸線至刀頂的工作高度 h_h (圖3)

$$h_h = R_{HK} - R_B \quad (10)$$

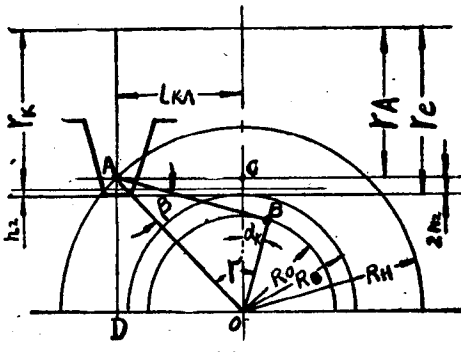
$$\left(R_B = \frac{MZ}{2} - f' M \quad f' \text{ 可取 } 1.2 \text{ 或 } 1.25 \right)$$

(7) 求滾刀中徑齒厚(圖3)。

$$S_m = S_h + 2(h - h_h) \operatorname{tg} \alpha_{h_0} \quad (11)$$

此外 $h=f'M$ (应注意 h_h 的正負，代入須注意)。

(8) 求滚刀工作部分长度 $2L$ (图 4)。



$$2L = 2R_h \sin(\gamma - \alpha_b) \quad (12)$$

$$r = \text{齒輪頂圓壓力角} \quad \cos r = \frac{R_o}{R_H} \quad (R_H = \text{齒輪外圓半徑})$$

(9) 求滾刀的理論半徑 r_b (图 4)。

先求 h_2 (滚刀刀齿高度之半)。

$$2h_3 = R_H \cos(r - \alpha_h) - R_B$$

$$\therefore h_3 = \frac{R_H \cos(\tau - \alpha_k) - R_B}{2} \quad (13)$$

再求 r_h , $r_h = r_e - h_2$ 。

r_0 =滾刀外徑，是已給定的。

(10) 求滾刀平均理論半徑 r_{the} (考慮到滾刀的刀磨)

$$r_{hcp} = r_h - \frac{K}{4}^{\circ}. \quad (15)$$

K =滚刀铣背量。

(11)求滚刀螺旋沟倾斜角 ω :

$$\sin \omega = \frac{M}{2r_{hcp}}. \quad (16)$$

(12)求滚刀螺旋沟导程 T

$$T = 2\pi r_{hcp} \cdot \operatorname{ctg} \omega. \quad (17)$$

(四)优缺点

优点为:

- (1) 提高齿轮表面光洁度;
- (2) 提高齿轮精加工的生产率, 为滚齿加工技术革新中新的一页;
- (3) 加工出之齿轮, 比标准滚刀更接近渐开线;
- (4) 减少滚刀制造允差对工件精度的影响, 使滚刀制造容易;
- (5) 减少刀具振动对齿轮加工精度的影响, 因此提供的机床条件要求不高。

如图 5, 当刀具径向振摆 Δf 一定时, 垂直于齿形的误差 Δfn 为:

$$\Delta fn = \Delta f \sin \alpha. \quad (18)$$

α 愈小, Δfn 也愈小, 则齿轮的齿形误差也愈小。

(6)由于压力角减小, 滚刀与齿轮啮合率增加, 切削刃数增多, 每个刃的负荷减轻, 因而提高滚刀的耐用度。



图 5

缺点为：

(1)由图6可知 $\operatorname{tg} \alpha_B = \operatorname{tg} \alpha_3 \cdot \sin \alpha$ 。

α 愈小， α_B 亦愈小，(α_B = 側后角， α_3 = 主后角)

側后角减小，影响耐用度。

(2)因为齿形角小，刀齿較弱，粗加工切削較差，但在齿輪齒数小于

56时，可将滚刀一端磨成进步滚刀

曲線，这样尚可大走刀粗加工(如图7)。

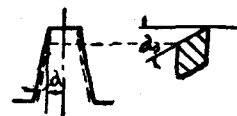


圖 6

(3)将(7)(9)式变化，并設 $S_H = \frac{\pi M}{2}$ 。

則 $S_K = \frac{M \cos \alpha}{\cos \alpha_K} [0.5\pi - Z(\ln V\alpha - \ln V\alpha_K)]$ 。 (19)

从(19)中可以看出，当齿輪齒数增加， S_K 将减少，这样一把滚刀只能加工一定范围的齿輪。为了克服这个缺点，当 $Z < 56$ 时，仍可做成整体式(如图7)但当 $M > 10$ ， $Z = 56 \sim 65$ 时(或 M 在 $5 \sim 10$ 之間 $Z = 56 \sim 80$)采用可分式滚刀(如图8)，当 $M > 10$ ， $Z > 65$ ，或 $5 < M < 10$ ， $Z > 80$ 时，可中間加垫圈(如图9)。这样就可改为通用了。

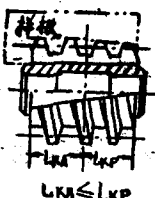


圖 7

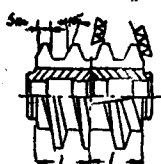


圖 8

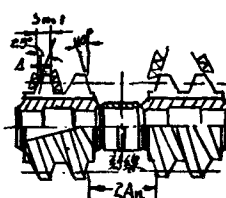


圖 9

(五) 本厂試驗過程

設計情況(圖 10):

已知 $M=8$, $Z=55$, 滾刀外徑 $a_e=125$

$Z_\phi=10$, $\alpha=20^\circ$, $\alpha_K=10^\circ$, 齒輪Ⅲ級精度 hH_0 取 0.0065, r_0 估為 53。

$$(1) S = \sqrt{\frac{8 h H_{0\text{ro}}}{\sin \alpha_b}} \approx 4 \text{ 公厘/工件每轉。}$$

$$(2) R_{HK} = \frac{8 \times 55 \times \cos 20^\circ}{\cos 10^\circ} = 209.92。$$

$$(3) t_K = \frac{\pi M \cdot \cos 20^\circ}{\cos 10^\circ} = 23.981。$$

$$(4) S_{K1} = 2R_{HK} \left(\frac{S_H}{2R_{HO}} + \ln V20^\circ - \ln V10^\circ \right) \\ = 17.385 (S_H \text{ 取 } 12.46)。$$

$$(5) S_K = t_K - S_{K1} = 6.596。$$

$$(6) h_K = R_{HK} - R_B = -0.4785。$$

$$(7) Sm = S_K + 2(h - h_K) \tan \alpha_K = 10.151 (h = 1.2M = 9.6)。$$

$$(8) L = R_H \sin(r - \alpha_K) = 58.8 \approx 60。$$

$$(9) r_K = r_e - h_2 = 57.56$$

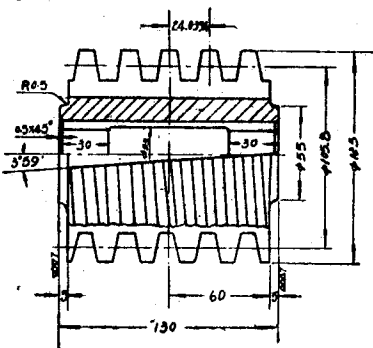
$$(h_2 = \frac{R_H \cos(\alpha_e - \alpha_K) - R_B}{2} = 4.94)。$$

$$(10) \sin \omega = \frac{M}{2 \times r_K} = 0.06949 \quad \omega = 3^\circ 59' \quad (r_{kep} \text{ 未考})$$

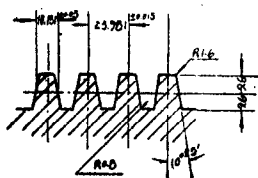
慮)。

$$(11) T = 2\pi r_K \cdot \operatorname{ctg} \omega = 5193.7。$$

$$(12) \quad t_{\text{軸}} = \frac{t_K}{\cos \omega} = 24.0394.$$



法向截面图形图3



技术条件 1. 刃数; 2.

热处理 Rc 61~64；3. 扣長 5194；4. 計算滾切齒數 55，走刀 4 公厘 $hH_0 = 0.0065$ ；5. 裝刀時，須將刀齒與牙坯對準，切削前精加工量為每齒側 0.3。

圖 10

試驗過程：

实测齿轮齿数 $Z = 50$ ，因此与设计要求有些出入，重新计算 S_m

$$Sm = 10.331 \quad \text{故需吃深 } X.$$

$$\text{按 } \frac{10.331 - 10.151}{2x} = \operatorname{tg} 10^\circ \quad \text{得 } x = 0.45$$

故全深应为 $2.2 M + 0.45 = 18.05$ 。

第一次試驗：

一只齒輪粗加工用普通滾刀，精加工用勝利滾刀，精加工余量為每齒側 0.3 公厘，另一只齒輪全部用普通滾刀，其

結果如表 3 所列。

表 3 精加工时走刀及切削时间(轉速一样均为 63 轉/分)

	走刀公厘/工件每轉				光 潔 度				基圓節距誤差	齒形誤差	切削時間	注
	第一段	第二段	第三段	最后	第一段	第二段	第三段	最后				
胜利 滾刀	2	3	4.8	3.4	▽▽5	▽▽5	▽▽4	▽▽5	±0.07	-0.083 +0.096	30分	
普通 液刀	1.2	1.2	1.2	1.2	▽▽5	▽▽5	▽▽5	▽▽5	+0.02	-0.104 +0.004	90分	

根据上面結果分析，在不減低質量的基础上，精加工切削效率可以提高 2 倍(在 4.8 公厘/工件每轉走刀时，有顫動現象，后改为 3.4 公厘即良好)。

基圓節距誤差加大，我們重新檢查了一下滾刀，實測滾刀法向螺距为 24.037~24.061，壓力角左为 $10^{\circ}30'40'' \sim 10^{\circ}34'40''$ ，右 $10^{\circ}12'20'' \sim 10^{\circ}16'$ 。

按計算螺距增大，被加工齒輪之 α 变小应为 $19^{\circ}29'$ ， α_K 增大， α 变大增大 $9'$ ，两者相加应为 $19^{\circ}39'$ 。現基距 $+0.07$ ，折算壓力角为 $19^{\circ}31'$ ，这样按此滾刀論，加工之工件是合格的，产生誤差在于滾刀創造的不准确。

齒形誤差檢查，我們沒有这样大的漸開線檢查仪，用逐点檢查法，即按

$$S_1 = 2R_1 \left(\frac{S_2}{2R_2} + \ln V\alpha_2 - \ln V\alpha_K \right) \text{ 公式每隔 1 公厘算}$$

出 S 弧寬再折算弦長。用齒輪卡尺測量，因此也難免有誤差。(从上表看普通滾刀也有 -0.104 之多。)

經過这样試驗，尚存在唯一的缺点；那就是粗加工用普通滾刀，工人嫌換刀麻煩，为了克服这个缺点，进一步提高

粗加工生产率，将此滚刀右端磨成进步滚刀曲线。直接用此滚刀进行粗精加工再作试验(图 11)。

第二次试验：

粗加工采用 1.2, 1.5, 2.0 公厘/工件每转走刀，因进步曲线未磨得正确，有一齿突出，影响走刀量，当 2 公厘走刀时，

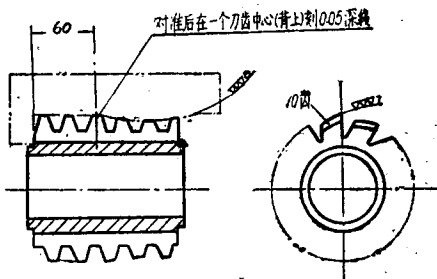


圖 11

机床刀架有些颤动，马上回到 1.5 公厘走刀，情况正常，(普通滚刀粗加工为 1.2 公厘/工件每转)，如果曲线磨得对，估价可提高到 2.5 公厘/工件每转以上。

精加工采用 2, 3, 3.6 公厘/工件每转，情况正常，齿形公差 ± 0.05 ，比上次较好，光洁度 $\nabla\nabla 5$ ，全部粗精加工时间共为 2 小时(用普通滚刀 4 小时)提高效率 1 倍。

根据试验结果经过技术鉴定认为合格，可以直接投入生产。

耐用程度：切削 5 只齿轮进行刃磨，(一般滚刀也只切削 3~4 齿轮)不过钝的程度较大，切削 4 只齿轮较为合适。

(六) 结语

根据我厂试验结果，证实用“小压力角胜利滚刀”大走刀来精加工齿轮完全有可能，这样就为提高滚齿生产率打开一条新的道路，虽然有以上的缺点，但仍值得推广，尤其是在齿数范围变动较少、批量较多的生产单位。

進步滾刀

我厂产品中的齒輪大都系模數較大，齒數較多，每只齒輪需經過粗、精两次加工。加工每只齒輪所耗費的工时往往达数十小时，非但效率低、成本高，并且影响生产計劃的均衡性。

因此，我厂在苏联先进經驗的启发下，設計成功了进步滾刀。試驗證明，这种滾刀效果良好（提高效率5倍以上），确可广泛地应用于生产上。

（一）进步滾刀的理論基础

一般滾刀的每个刀齿有它的頂刃和側刃两部分，在切削刃长度方面来看頂刃占的比例不大，但切削負荷却很重，这我們可从图1中看出，頂刃B部分是切削負荷最重的地方，因此在我們設計新的高生产率齒輪滾刀时，允許只考慮頂刃部分的負荷，而忽略刃口长度很大，負荷較小的側刃工作情況。

基于这个基础，下面我們来看一下一般滾刀逆銑齒輪时的工作接触情况，如图2所示。

我們知道一个圓柱体齒輪和一个圓柱体滾刀斜一个螺旋角相交，它的接触带一定是一个曲綫（即图上的阴阳部分）。

如果变更进刀量，它的接触带长短也有所变动，在图2中所示逆銑时接触带部分 TT_1 的长度为 L ，此时进刀量为 S ，如果把进刀量降低为 $S_1 = \frac{S}{2}$ 时，这时接触带长度成了 L_1 ，它比 L 要小，但并沒有减少一半，这就意味着如果我们把走刀量加大一倍，毛坯每轉所切下的金属体积也增加，